

# Simulación de la propagación de ondas acústicas en flujos potenciales mediante bases de ondas planas

Pablo Gamallo<sup>1</sup>, Jeremy Astley<sup>2</sup>

<sup>1</sup>Dpto. Diseño na Enxeñaría  
Universidade de Vigo

<sup>2</sup>Institute of Sound and Vibration Research  
University of Southampton

- 1 Motivación
- 2 Definición del problema
- 3 Limitaciones del Método de los Elementos Finitos clásico
- 4 Métodos numéricos con bases de ondas planas: Ec. de Helmholtz
- 5 Ecuación de Helmholtz convectiva no uniforme

# Ruido producido por aviones comerciales



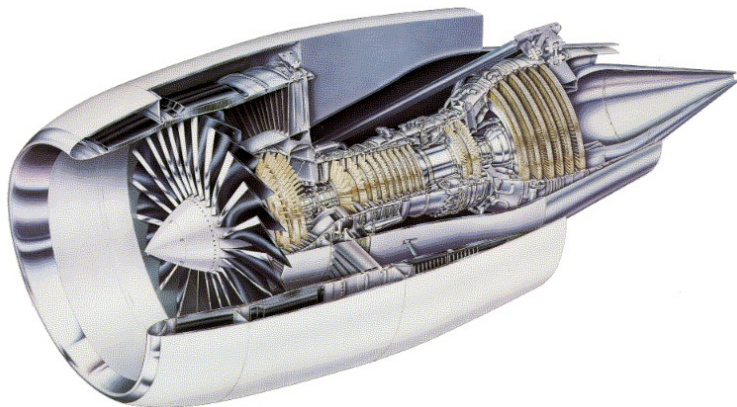
Figura: Principales fuentes de ruido en un avión comercial.

# Ruido del motor



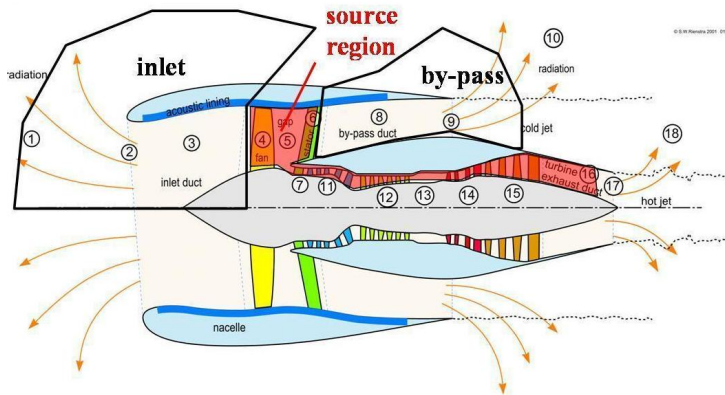
Figura: Motor de aviación tipo turbofan.

# Esquema motor turbofan



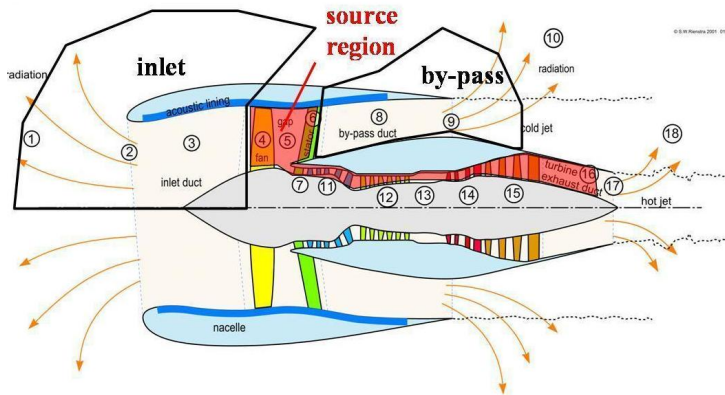
**Figura:** Esquema de motor de aviación tipo turbofan (vista interior).

# Análisis del sonido radiado



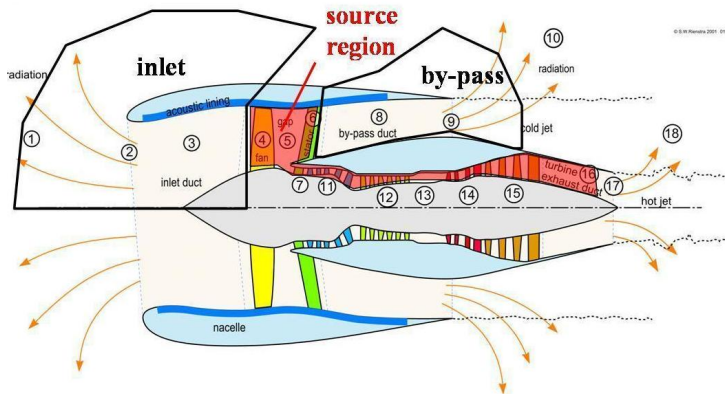
- Simulación de la **radiación acústica** en motores turbofan
- Propagación acústica a través de flujos estacionarios

# Análisis del sonido radiado



- Simulación de la **radiación acústica** en motores turbofan
- Propagación acústica a través de flujos estacionarios

# Análisis del sonido radiado



- Simulación de la **radiación acústica** en motores turbofan
- Propagación acústica a través de flujos estacionarios



# Conceptos previos

- **Ecuación de ondas** (medio homogéneo sin flujo),

$$\Delta p - \frac{1}{c^2} \frac{\partial^2 p}{\partial t^2} = 0$$

$c$  es velocidad de propagación en el medio.

- **Régimen armónico:**  $p(x, t) = p(x)e^{i\omega t}$

Ecuación de Helmholtz

$$\Delta p + \frac{\omega^2}{c^2} p = 0$$

# Conceptos previos

- **Ecuación de ondas** (medio homogéneo sin flujo),

$$\Delta p - \frac{1}{c^2} \frac{\partial^2 p}{\partial t^2} = 0$$

$c$  es velocidad de propagación en el medio.

- **Régimen armónico:**  $p(x, t) = p(x)e^{i\omega t}$

## Ecuación de Helmholtz

$$\Delta p + \frac{\omega^2}{c^2} p = 0$$

# Algunas definiciones previas

Frecuencia angular  $\omega$ , frecuencia  $f$  y periodo  $T$

$$\omega = 2\pi f = \frac{2\pi}{T}$$

Número de onda y longitud de onda

$$\lambda = \frac{2\pi}{k}$$

Relación de dispersión

$$k = \frac{\omega}{c}$$

# Algunas definiciones previas

Frecuencia angular  $\omega$ , frecuencia  $f$  y periodo  $T$

$$\omega = 2\pi f = \frac{2\pi}{T}$$

Número de onda y longitud de onda

$$\lambda = \frac{2\pi}{k}$$

Relación de dispersión

$$k = \frac{\omega}{c}$$

# Algunas definiciones previas

Frecuencia angular  $\omega$ , frecuencia  $f$  y periodo  $T$

$$\omega = 2\pi f = \frac{2\pi}{T}$$

Número de onda y longitud de onda

$$\lambda = \frac{2\pi}{k}$$

Relación de dispersión

$$k = \frac{\omega}{c}$$

# Modelo matemático

- Flujo: compresible, isoentrópico y potencial
- Flujo total = flujo estacionario + perturbaciones acústicas
- Acústica: perturbaciones armónicas de pequeña amplitud

$$\mathbf{u} \ll \mathbf{u}_0$$

- **Linealización** entorno al flujo estacionario  $\mathbf{u}_0$ :

$$\mathbf{u}_t = \mathbf{u}_0 + \mathbf{u}$$

# Modelo matemático

- Flujo: compresible, isoentrópico y potencial
- Flujo total = flujo estacionario + perturbaciones acústicas
- Acústica: perturbaciones armónicas de pequeña amplitud

$$\mathbf{u} \ll \mathbf{u}_0$$

- **Linealización** entorno al flujo estacionario  $\mathbf{u}_0$ :

$$\mathbf{u}_t = \mathbf{u}_0 + \mathbf{u}$$

# Modelo matemático

- Flujo: compresible, isoentrópico y potencial
- Flujo total = flujo estacionario + perturbaciones acústicas
- Acústica: perturbaciones armónicas de pequeña amplitud

$$\mathbf{u} \ll \mathbf{u}_0$$

- **Linealización** entorno al flujo estacionario  $\mathbf{u}_0$ :

$$\mathbf{u}_t = \mathbf{u}_0 + \mathbf{u}$$



# Modelo matemático

- Flujo: compresible, isoentrópico y potencial
- Flujo total = flujo estacionario + perturbaciones acústicas
- Acústica: perturbaciones armónicas de pequeña amplitud

$$\mathbf{u} \ll \mathbf{u}_0$$

- **Linealización** entorno al flujo estacionario  $\mathbf{u}_0$ :

$$\mathbf{u}_t = \mathbf{u}_0 + \mathbf{u}$$

## Ecuaciones del flujo

## Ecuaciones del flujo estacionario

$$\nabla \cdot (\rho_0 \mathbf{u}_0) = 0$$

$$\mathbf{u}_0 = \nabla \phi_0$$

$$\frac{1}{2} |\mathbf{u}_0|^2 + \frac{K\gamma}{\gamma - 1} \rho_0^{\gamma-1} = E$$

$$p_0 = K \rho_0^\gamma$$

$$c_0^2 = \gamma \frac{p_0}{\rho_0}$$

# Ecuaciones para el campo acústico

- Ecuaciones del campo acústico

$$i\omega\rho + \nabla \cdot (\rho_0 \nabla \phi + \rho \mathbf{u}_0) = 0$$

$$i\omega\phi + \mathbf{u}_0 \cdot \nabla \phi + \frac{p}{\rho_0} = 0$$

$$p = c_0^2 \rho$$

## Ecuación de ondas convectiva no homogénea

$$\omega^2 \frac{\rho_0}{c_0^2} \phi - i\omega \left( \frac{\rho_0 \mathbf{u}_0}{c_0^2} \cdot \nabla \phi + \nabla \cdot \left( \frac{\rho_0 \mathbf{u}_0}{c_0^2} \phi \right) \right) - \nabla \cdot \left( \left( \frac{\rho_0 \mathbf{u}_0}{c_0^2} \cdot \nabla \phi \right) \mathbf{u}_0 \right) + \nabla \cdot (\rho_0 \nabla \phi) = 0$$

# Ecuaciones para el campo acústico

- Ecuaciones del campo acústico

$$i\omega\rho + \nabla \cdot (\rho_0 \nabla \phi + \rho \mathbf{u}_0) = 0$$

$$i\omega\phi + \mathbf{u}_0 \cdot \nabla \phi + \frac{p}{\rho_0} = 0$$

$$p = c_0^2 \rho$$

## Ecuación de ondas convectiva no homogénea

$$\omega^2 \frac{\rho_0}{c_0^2} \phi - i\omega \left( \frac{\rho_0 \mathbf{u}_0}{c_0^2} \cdot \nabla \phi + \nabla \cdot \left( \frac{\rho_0 \mathbf{u}_0}{c_0^2} \phi \right) \right) - \nabla \cdot \left( \left( \frac{\rho_0 \mathbf{u}_0}{c_0^2} \cdot \nabla \phi \right) \mathbf{u}_0 \right) + \nabla \cdot (\rho_0 \nabla \phi) = 0$$

# Condiciones de contorno acústicas

- Pared rígida:

$$\nabla\phi \cdot \mathbf{n} = \mathbf{u} \cdot \mathbf{n} = 0$$

- Pared ‘blanda’, forro acústico (condición de Myers):

$$i\omega(\mathbf{u} \cdot \mathbf{n}) = \{i\omega + \mathbf{u}_0 \cdot \nabla - \mathbf{n} \cdot (\mathbf{n} \cdot \nabla \mathbf{u}_0)\} \frac{p}{Z}$$

- Admisión: Modos prescritos (dato).
- Salida: Condiciones de no reflexión o radiación.

# Requisitos computacionales del MEF

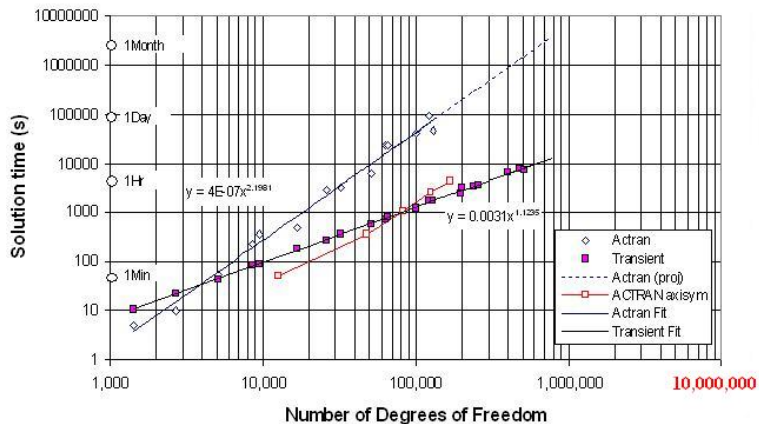
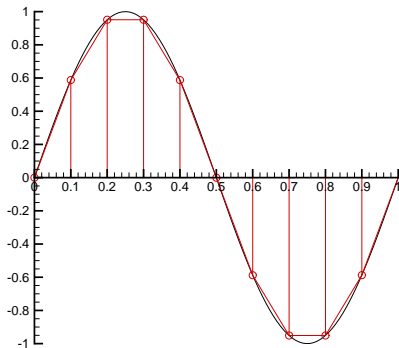


Figura: Requisitos computacionales del MEF (Fuente: J. Hamilton & R.J. Astley).

# Propiedades del MEF: Error de Interpolación

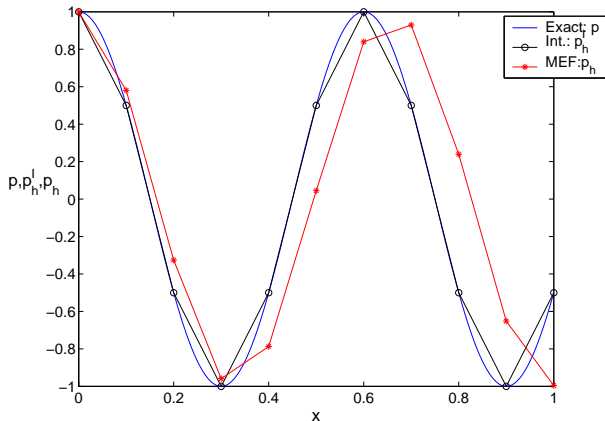
- Para una buena interpolación se requieren **8-10 nodos por longitud de onda**:

$$h \approx \frac{\lambda}{10} \Rightarrow kh \approx \frac{2\pi}{10}$$



# Propiedades del MEF: Error de Polución

- El error de polución hace que 8-10 nodos por longitud de onda NO sean suficientes cuando  $\lambda < L/3$





## Ecuación de Helmholtz homogénea

$$\Delta p + k^2 p = 0 \text{ en } \Omega, + \text{c.c.}$$

- **Ondas planas** son soluciones:

$$\phi_\theta(x, y) = A e^{-i(k_x(\theta)x + k_y(\theta)y)} = A e^{-ik(x \cos \theta + y \sin \theta)}, \theta \in [0, 2\pi)$$

- **Aproximación** de  $p$  mediante bases de ondas planas:

$$V_n = \left\{ p_n : p_n = \sum_{j=1}^n A_j e^{-ik(x \cos \theta_j + y \sin \theta_j)} \right\}$$

# Propiedades de la aproximación

Para toda  $p$  solución de la ecuación de Helmholtz en  $\Omega$

- $p \in H^s(\Omega)$

$$\inf_{p_n \in V_n} \|p - p_n\|_{H^1(\Omega)} \leq C \left( \frac{\ln n}{n} \right)^{\lambda(s-1)} \|p\|_{H^s(\Omega)}$$

( $\lambda\pi$  es el menor ángulo exterior de  $\Omega$ )

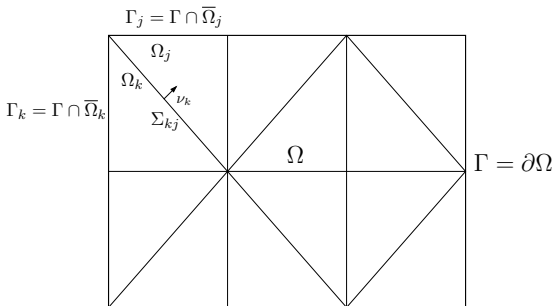
- $p$  analítica:

$$\inf_{p_n \in V_n} \|p - p_n\|_{H^1(\Omega)} \leq C e^{-\gamma \frac{n}{\ln n}} \|p\|_{L_2(\Omega)}$$

# Bases de ondas planas con partición (malla) del dominio

- Métodos de Trefftz:
  - 1 Funciones de base discontinuas
  - 2 Problema variacional definido sobre el esqueleto de la malla (aristas en 2D, caras 3D) para imponer condiciones de ‘acople’ y cond. contorno
  
- El Método de la Partición de la unidad:
  - 1 Funciones de base continuas
  - 2 Formulación variacional ‘estándar’ (misma que para el MEF)

## Métodos de Trefftz



Introduciendo el espacio

$$\mathcal{K}(\Omega) = K(\Omega_1) \oplus \dots \oplus K(\Omega_{N_e})$$

donde  $K(\Omega_j) \subset H^1(\Omega_j)$  es el subespacio de las funciones  $\varphi_j \in H^1(\Omega_j)$  satisfaciendo

$$\Delta\varphi_j + \kappa^2\varphi_j = 0 \quad \text{en } \Omega_j.$$

# Métodos de Trefftz: Formulación variacional

- Condiciones de acople y de contorno

$$\begin{aligned}
 [v]_{\Sigma_{kj}} &:= (v_k - v_j)|_{\Sigma_{kj}} \\
 \left[ \frac{\partial v}{\partial \nu_k} \right]_{\Sigma_{kj}} &:= \left( \frac{\partial v_k}{\partial \nu_k} - \frac{\partial v_j}{\partial \nu_k} \right) \Big|_{\Sigma_{kj}} = \left( \frac{\partial v_k}{\partial \nu_k} + \frac{\partial v_j}{\partial \nu_j} \right) \Big|_{\Sigma_{kj}} \\
 B(v) &= g, \quad \text{condiciones contorno}
 \end{aligned}$$

- Imposición mediante mínimos cuadrados (**hay otras alternativas**)

$$J(v) := \frac{1}{2} \sum_{k=1}^{N_e} \sum_{\substack{j=1 \\ j \neq k}}^{N_e} \int_{\Sigma_{kj}} \left| \left[ \frac{\partial v}{\partial \nu_k} \right]_{\Sigma_{kj}} - i\kappa [v]_{\Sigma_{kj}} \right|^2 d\Gamma + \frac{1}{2} \sum_{k=1}^{N_e} \int_{\Gamma_k} |B(v) - g|^2 d\Gamma,$$

$$\begin{aligned}
 \langle \delta J(p), v \rangle &= \sum_{k=1}^{N_e} \sum_{\substack{j=1 \\ j \neq k}}^{N_e} \int_{\Sigma_{kj}} \left( \left[ \frac{\partial p}{\partial \nu_k} \right]_{\Sigma_{kj}} - i\kappa [p]_{\Sigma_{kj}} \right) \overline{\left( \left[ \frac{\partial v}{\partial \nu_k} \right]_{\Sigma_{kj}} - i\kappa [v]_{\Sigma_{kj}} \right)} d\Gamma + \\
 &\quad \sum_{k=1}^{N_e} \int_{\Gamma_k} (B(p) - g) \overline{B(v)} d\Gamma = 0, \quad \forall v \in \mathcal{K}(\Omega)
 \end{aligned}$$

# Métodos de Trefftz: Discretización

## Espacio discreto global

$$\mathcal{K}_{h,n}(\Omega) := K_{h,n_1}(\Omega_1) \oplus \cdots \oplus K_{h,n_{N_e}}(\Omega_{N_e}) \subset \mathcal{K}(\Omega)$$

se construye a partir de **espacios discretos locales** (en cada elemento)

$$K_{h,n_j}(\Omega_k) := \{\alpha_{j,l} \varphi_{j,l} : \alpha_{j,l} \in \mathbb{C}, l = 1, \dots, n_j\} \subset K(\Omega_j)$$

donde,

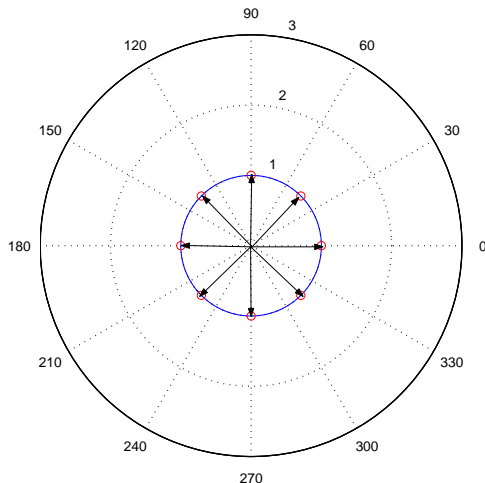
$$\varphi_{j,l} = \begin{cases} e^{i\kappa(x \cos \phi_l + y \sin \phi_l)} & \text{in } \Omega_j \\ 0 & \text{elsewhere} \end{cases}$$

Cualquier función  $v_{h,p} \in \mathcal{K}_{h,p}(\Omega)$  se escribirá

$$v_{h,n} = \sum_{j=1}^{N_e} \sum_{l=1}^{n_j} \alpha_{j,l} \varphi_{j,l}$$

# Conjunto finito de vectores de onda

- Dado un número de direcciones  $n_d$ , consideramos ángulos  $\{\theta_1, \dots, \theta_{n_d}\}$  equidistantes.



# El Método de la Partición de la Unidad

- Introducido por Melenk y Babuška en 1996
- Características principales:
  - 1 Permite enriquecer el espacio de elementos finitos con funciones de base generales
  - 2 Comparte con el MEF: formulación variacional y definición local de las funciones de base (da lugar a matrices huecas).
  - 3 Eligiendo funciones de base *adecuadas* (buenas propiedades de aproximación) se espera reducir notablemente el número de g.d.l.



# Ecuación de Helmholtz: Formulación Variacional

$$\int_{\Omega} \nabla p \cdot \nabla \bar{\phi} dV - \kappa^2 \int_{\Omega} p \bar{\phi} dV - i\kappa \left( \frac{1-Q}{1+Q} \right) \int_{\Gamma_R} p \bar{\phi} d\Gamma = \\ \frac{1}{2} \int_{\Gamma_N} g \bar{\phi} d\Gamma + \frac{1}{1+Q} \int_{\Gamma_R} g \bar{\phi} d\Gamma, \quad \forall \phi \in H_{\Gamma_D}^1(\Omega)$$

# Discretizaciones (conformes)

## Elementos Finitos estándar (MEF)

$$\phi_h(x, y) = \sum_{l=1}^{N_{nodes}} N_l(x, y) \phi_l,$$

$\phi_l$  : valores nodales (g.d.l. del MEF)

## Método de la Partición de la Unidad (MPU)

$$\phi_{h,n}(x, y) = \sum_{l=1}^{N_{nodes}} \sum_{j=1}^{n_d(l)} A_l^j \psi_l^j(x, y), \quad \text{donde } \psi_l^j(x, y) = N_l(x, y) e^{-ik(x \cos \theta_j + y \sin \theta_j)},$$

$A_l^j$  : amplitudes de onda nodales (g.d.l. del MPU)

# Discretizaciones (conformes)

## Elementos Finitos estándar (MEF)

$$\phi_h(x, y) = \sum_{l=1}^{N_{nodes}} N_l(x, y) \phi_l,$$

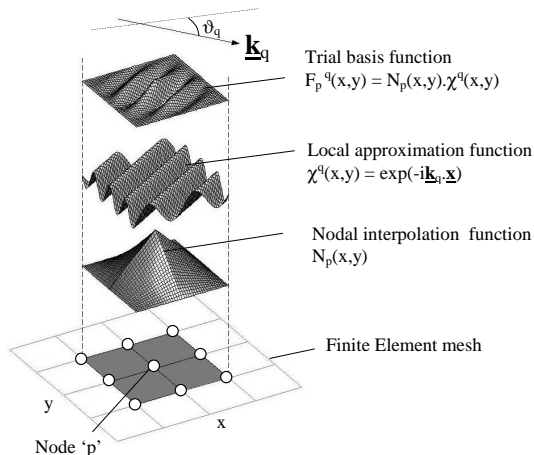
$\phi_l$  : valores nodales (g.d.l. del MEF)

## Método de la Partición de la Unidad (MPU)

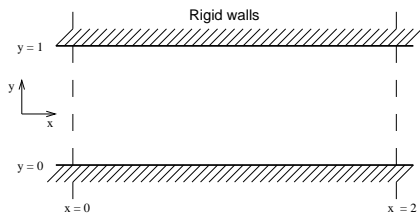
$$\phi_{h,n}(x, y) = \sum_{l=1}^{N_{nodes}} \sum_{j=1}^{n_d(l)} A_l^j \psi_l^j(x, y), \quad \text{donde } \psi_l^j(x, y) = N_l(x, y) e^{-ik(x \cos \theta_j + y \sin \theta_j)},$$

$A_l^j$  : amplitudes de onda nodales (g.d.l. del MPU)

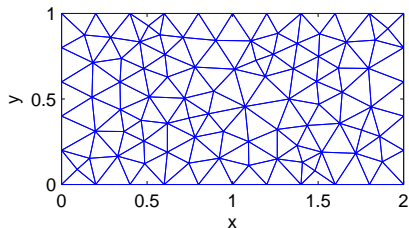
## Ejemplo de función de base del MPU



# Test numérico: Propagación en conductos



a) Dominio



b) Malla inicial



## Ecuación de Helmholtz convectiva no uniforme

## Ecuación de ondas convectiva

$$\omega^2 \frac{\rho_0}{c_0^2} \phi - i\omega \left( \frac{\rho_0 \mathbf{u}_0}{c_0^2} \cdot \nabla \phi + \nabla \cdot \left( \frac{\rho_0 \mathbf{u}_0}{c_0^2} \phi \right) \right) - \nabla \cdot \left( \left( \frac{\rho_0 \mathbf{u}_0}{c_0^2} \cdot \nabla \phi \right) \mathbf{u}_0 \right) + \nabla \cdot (\rho_0 \nabla \phi) = 0$$

# Funciones para el enriquecimiento local: soluciones ‘localmente’ exactas

## Flujo uniforme 2D

$$\frac{\partial^2 \phi}{\partial y^2} + (1 - M^2) \frac{\partial^2 \phi}{\partial x^2} - 2ikM \frac{\partial \phi}{\partial x} + k^2 \phi = 0$$

**Ondas planas:**  $\phi(x, y) = A e^{-i(k_x x + k_y y)} = A e^{-ik \frac{(x \cos \theta + y \sin \theta)}{1 + M \cos \theta}}$

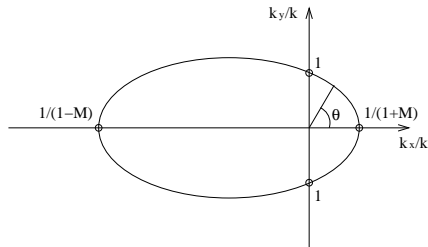


Figura: Lugar geométrico de vectores de onda  $\mathbf{k}$



# Funciones de base del MPU

## Elementos Finitos estándar (MEF)

$$\phi_h(x, y) = \sum_{l=1}^{N_{nodes}} N_l(x, y) \phi_l,$$

$\phi_l$  : valores nodales (g.d.l. del MEF)

## Método de la Partición de la Unidad (MPU)

$$\phi_h(x, y) = \sum_{l=1}^{N_{nodes}} \sum_{j=1}^{n_d(l)} A_l^j \psi_l^j(x, y), \quad \text{donde } \psi_l^j(x, y) = N_l(x, y) e^{-ik \frac{(x \cos \theta_j + y \sin \theta_j)}{1 + M \cos \theta_j}},$$

$A_l^j$  : amplitudes de onda nodales (g.d.l. del MPU)

# Funciones de base del MPU

## Elementos Finitos estándar (MEF)

$$\phi_h(x, y) = \sum_{l=1}^{N_{nodes}} N_l(x, y) \phi_l,$$

$\phi_l$  : valores nodales (g.d.l. del MEF)

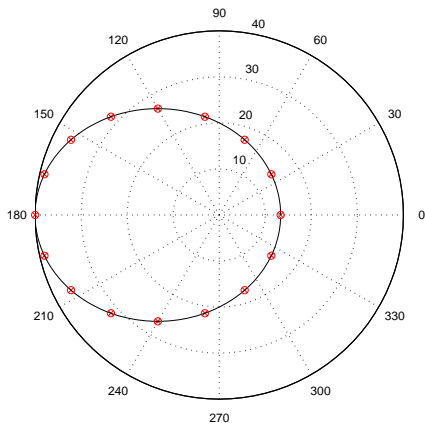
## Método de la Partición de la Unidad (MPU)

$$\phi_h(x, y) = \sum_{l=1}^{N_{nodes}} \sum_{j=1}^{n_d(l)} A_l^j \psi_l^j(x, y), \quad \text{donde } \psi_l^j(x, y) = N_l(x, y) e^{-ik \frac{(x \cos \theta_j + y \sin \theta_j)}{1 + M \cos \theta_j}},$$

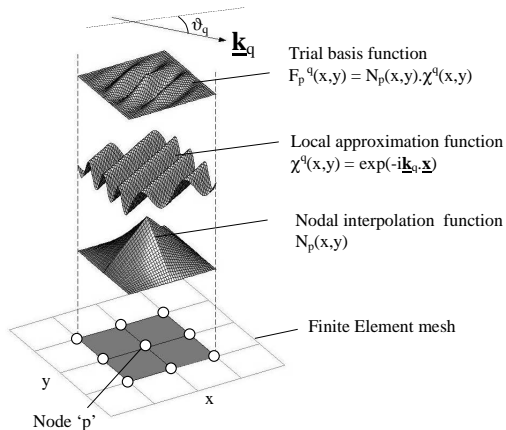
$A_l^j$  : amplitudes de onda nodales (g.d.l. del MPU)

# Conjunto finito de vectores de onda

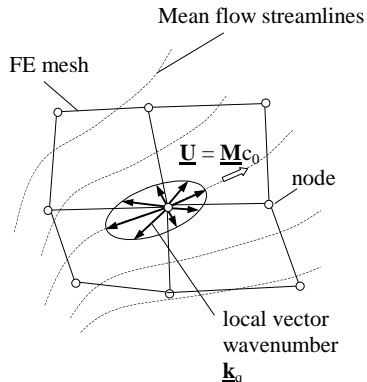
- Dado un número de direcciones  $n_d$ , consideramos ángulos  $\{\theta_1, \dots, \theta_{n_d}\}$  tales que  $\{\vec{k}(\theta_1), \dots, \vec{k}(\theta_{n_d})\}$  son equidistantes.



## Base del MPU



a) Construcción de la base MPU



b) Elipse local de vectores de onda

# Ecuaciones discretizadas

## Formulación Variacional

► Formulación fuerte

$$\int_{\Omega} \frac{\rho_0}{c_0^2} \left\{ c_0^2 \nabla \psi \cdot \nabla \phi - (\mathbf{u}_0 \cdot \nabla \psi)(\mathbf{u}_0 \cdot \nabla \phi) \right\} dV + i\omega \int_{\Omega} \frac{\rho_0}{c_0^2} \left\{ \psi(\mathbf{u}_0 \cdot \nabla \phi) - (\mathbf{u}_0 \cdot \nabla \psi)\phi \right\} dV - \omega^2 \int_{\Omega} \frac{\rho_0}{c_0^2} \psi \phi dV = \int_{\Gamma} \frac{\rho_0}{c_0^2} \left\{ c_0^2 \psi \nabla \phi - \mathbf{u}_0 \psi (\mathbf{u}_0 \cdot \nabla \phi) - i\omega \mathbf{u}_0 \psi \phi \right\} \cdot \mathbf{n} dS$$

## Conjunto discreto de funciones test

$$\psi(x, y) \equiv \psi_l^j(x, y), \quad l = 1, \dots, N_{nodes} \quad \text{and} \quad j = 1, \dots, n_d(l)$$

## Sistema de ecuaciones lineales

$$[B(\omega)]\{A\} = \{F(\omega)\}$$

# Ecuaciones discretizadas

## Formulación Variacional

► Formulación fuerte

$$\int_{\Omega} \frac{\rho_0}{c_0^2} \left\{ c_0^2 \nabla \psi \cdot \nabla \phi - (\mathbf{u}_0 \cdot \nabla \psi)(\mathbf{u}_0 \cdot \nabla \phi) \right\} dV + i\omega \int_{\Omega} \frac{\rho_0}{c_0^2} \left\{ \psi(\mathbf{u}_0 \cdot \nabla \phi) - (\mathbf{u}_0 \cdot \nabla \psi)\phi \right\} dV - \omega^2 \int_{\Omega} \frac{\rho_0}{c_0^2} \psi \phi dV = \int_{\Gamma} \frac{\rho_0}{c_0^2} \left\{ c_0^2 \psi \nabla \phi - \mathbf{u}_0 \psi (\mathbf{u}_0 \cdot \nabla \phi) - i\omega \mathbf{u}_0 \psi \phi \right\} \cdot \mathbf{n} dS$$

## Conjunto discreto de funciones test

$$\psi(x, y) \equiv \psi_l^j(x, y), \quad l = 1, \dots, N_{nodes} \quad \text{and} \quad j = 1, \dots, n_d(l)$$

## Sistema de ecuaciones lineales

$$[B(\omega)]\{A\} = \{F(\omega)\}$$

# Ecuaciones discretizadas

## Formulación Variacional

► Formulación fuerte

$$\int_{\Omega} \frac{\rho_0}{c_0^2} \left\{ c_0^2 \nabla \psi \cdot \nabla \phi - (\mathbf{u}_0 \cdot \nabla \psi)(\mathbf{u}_0 \cdot \nabla \phi) \right\} dV + i\omega \int_{\Omega} \frac{\rho_0}{c_0^2} \left\{ \psi(\mathbf{u}_0 \cdot \nabla \phi) - (\mathbf{u}_0 \cdot \nabla \psi)\phi \right\} dV - \omega^2 \int_{\Omega} \frac{\rho_0}{c_0^2} \psi \phi dV = \int_{\Gamma} \frac{\rho_0}{c_0^2} \left\{ c_0^2 \psi \nabla \phi - \mathbf{u}_0 \psi (\mathbf{u}_0 \cdot \nabla \phi) - i\omega \mathbf{u}_0 \psi \phi \right\} \cdot \mathbf{n} dS$$

## Conjunto discreto de funciones test

$$\psi(x, y) \equiv \psi_l^j(x, y), \quad l = 1, \dots, N_{nodes} \quad \text{and} \quad j = 1, \dots, n_d(l)$$

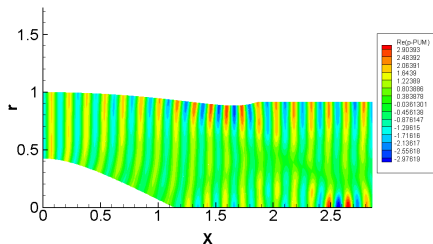
## Sistema de ecuaciones lineales

$$[B(\omega)]\{A\} = \{F(\omega)\}$$

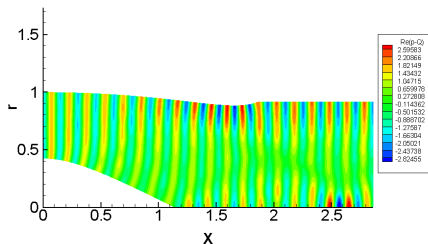




# Campo de presión acústica (parte real) para $\omega = 25$

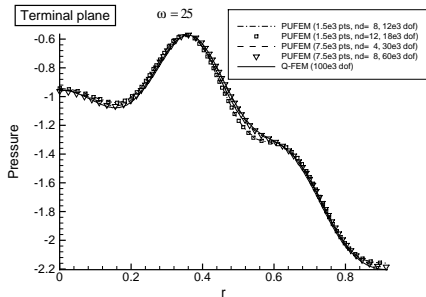
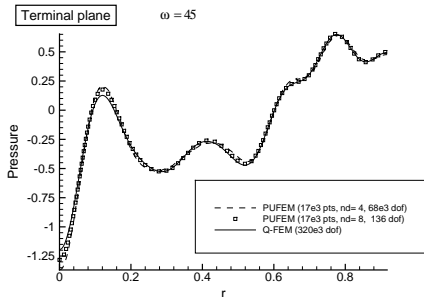


(e) MPU, 12.000 g.d.l (1.500 pts., 8 dir.)



(f) MEF cuadrático, 100.000 d.o.f.

# Presión acústica (parte real) en el plano final

(g)  $\omega = 25$ (h)  $\omega = 45$

# Conclusiones

- El estudio realizado indica que el MPU es más eficiente que el el MEF para resolver problemas de propagación acústica de onda corta en flujos irrotacionales.
- En los problemas bidimensionales se observan mejoras muy notables en la eficiencia.
- El mal condicionamiento de los sistemas de ecuaciones resultantes en el MPU limita el margen de mejora.

# Conclusiones

- El estudio realizado indica que el MPU es más eficiente que el el MEF para resolver problemas de propagación acústica de onda corta en flujos irrotacionales.
- En los problemas bidimensionales se observan mejoras muy notables en la eficiencia.
- El mal condicionamiento de los sistemas de ecuaciones resultantes en el MPU limita el margen de mejora.

# Conclusiones

- El estudio realizado indica que el MPU es más eficiente que el el MEF para resolver problemas de propagación acústica de onda corta en flujos irrotacionales.
- En los problemas bidimensionales se observan mejoras muy notables en la eficiencia.
- El mal condicionamiento de los sistemas de ecuaciones resultantes en el MPU limita el margen de mejora.

# Trabajo futuro

- Investigar posibles estrategias para solventar el problema del mal condicionamiento: métodos multimalla, ‘refinamiento’ adaptativo, etc.
- Hacer un estudio análogo para evaluar la eficiencia del MPU para problemas tridimensionales.
- Comparar el MPU con otros métodos numéricos recientes que también se basan en el uso de bases de ondas planas: UWVF, Métodos Trefftz (LSM), DGM, etc.

# Trabajo futuro

- Investigar posibles estrategias para solventar el problema del mal condicionamiento: métodos multimalla, ‘refinamiento’ adaptativo, etc.
- Hacer un estudio análogo para evaluar la eficiencia del MPU para problemas tridimensionales.
- Comparar el MPU con otros métodos numéricos recientes que también se basan en el uso de bases de ondas planas: UWVF, Métodos Trefftz (LSM), DGM, etc.

# Trabajo futuro

- Investigar posibles estrategias para solventar el problema del mal condicionamiento: métodos multimalla, ‘refinamiento’ adaptativo, etc.
- Hacer un estudio análogo para evaluar la eficiencia del MPU para problemas tridimensionales.
- Comparar el MPU con otros métodos numéricos recientes que también se basan en el uso de bases de ondas planas: UWVF, Métodos Trefftz (LSM), DGM, etc.